

УДК 537.635. 539.2

© 1991

## МОДЕЛИРОВАНИЕ НА ЭВМ ЯВЛЕНИЯ ЭХА В ДИЭЛЕКТРИЧЕСКИХ СТЕКЛАХ

Д. А. Паршин, В. Н. Соловьев

Проведено численное исследование различных разновидностей диэлектрического эха в стеклах с учетом спектральной диффузии. Показано, что спектральная диффузия играет важную роль в затухании сигналов ротационного и двухимпульсного эха. В случаях двухимпульсного ротационного и стимулированного эха ее влияние значительно слабее. Затухание сигнала имеет экспоненциальный характер и, скорее всего, связано с тем, что не учтено влияние туннельной прозрачности резонансных двухуровневых систем на величину их взаимодействия с тепловыми двухуровневыми системами.

Известно, что многие низкотемпературные тепловые и акустические свойства стекол проявляют аномалии [1]. Наблюдаемые аномалии хорошо описываются в рамках туннельной модели Андерсона, Халперина, Вармы [2] и Филлипса [3], расширенной и модифицированной Карповым и др. [4]. Туннельная модель предполагает наличие в стеклах атомов или групп атомов, которые могут находиться в двух устойчивых положениях равновесия, разделенных барьером. При низких температурах этот барьер преодолевается путем квантовомеханического туннелирования.

Времена жизни туннельных состояний могут быть достаточно большими. При этом возможно проявление когерентных явлений: акустического и диэлектрического эха [5], аналогов спинового и фонового эха. Исследование явлений эха (спонтанного, стимулированного, ротационного) позволяет получить информацию о временах релаксации туннельных состояний, изучить их взаимодействие с фононами [6].

Теоретическое описание резонансной динамики отождествляемых с туннельными состояниями двухуровневых систем (ДУС) сильно осложнено явлением спектральной диффузии. Суть последнего сводится к следующему [6]. Каждая ДУС создает вокруг себя поле деформаций, величина которых зависит от того, в каком энергетическом состоянии (верхнем или нижнем) находится данная ДУС. Наиболее важны так называемые тепловые ДУС с расстоянием между уровнями  $E \approx T$ . Под влиянием тепловых фононов они постоянно совершают переходы из одного состояния в другое. В результате этого поле деформаций, создаваемое ими вокруг, флюктуирует во времени. В свою очередь энергия любой ДУС меняется при деформации. Поэтому переходы в окружающих ее тепловых ДУС приводят к тому, что эта энергия флюктуирует во времени.

В настоящей работе проведено численное исследование различных разновидностей эха в диэлектрических стеклах с учетом спектральной диффузии путем моделирования на ЭВМ. Показано, что в ряде случаев спектральная диффузия является основным механизмом, определяющим спад амплитуды эха.

### 1. Качественные представления

Опишем коротко концепцию ДУС, в рамках которой будет проводиться дальнейшее рассмотрение [2, 3]. Спектр ДУС состоит из двух близко расположенных уровней, расстояние между которыми (энергия ДУС)

$E = \sqrt{\Delta_0^2 + \Delta^2}$ , где  $\Delta$  — асимметрия потенциала;  $\Delta_0 = \hbar \omega_0 e^{-\lambda}$  — туннельная прозрачность барьера;  $\lambda$  — безразмерный параметр, характеризующий перекрытие волновых функций левой и правой ям двухъямного потенциала;  $\omega_0$  — частота колебаний в одной яме.

В силу имеющегося в стеклах структурного беспорядка параметры ДУС являются случайными и равномерно распределенными [2, 3]

$$N(\Delta, \lambda) = N_0 = \text{const.} \quad (1)$$

Случайной величиной в силу (1) является и энергия  $E$ . Плотность состояний равна

$$W(E, p) = N_0 / 2p \sqrt{1 - p}, \quad p = (\Delta_0/E)^2. \quad (2)$$

Гамильтониан ДУС во внешнем электрическом поле можно записать в виде [5]

$$H = H_0 + H_e = \frac{1}{2} E \hat{\delta}_z + (\mu' \delta_x + \frac{1}{2} \mu \sigma_z) \mathbf{F}(t).$$

Здесь первый член представляет собой статический гамильтониан с собственными значениями  $\pm E/2$ , а второй описывает взаимодействие системы с зависящим от времени электрическим полем  $\mathbf{F}(t)$ ;  $\sigma_z$  — матрицы Паули; член  $\mu = 2(\Delta/E)$  описывает изменение расстояния между уровнями ДУС в электрическом поле  $\mathbf{F}$ ;  $m = 1/2(\partial \Delta / \partial \mathbf{F})$  — дипольный момент ДУС;  $\mu' = (\Delta_0/E)m$  — дипольный момент перехода, описывающий переходы между уровнями ДУС.

При рассмотрении динамики ДУС используют формальную аналогию между двухуровневой системой и частицей со спином 1/2. Решение уравнений Блоха для компонент матрицы плотности ДУС позволяет определить значения феноменологически введенных времен продольной  $T_1$  и поперечной  $T_2$  релаксации [5]. Первое из них связано с переворотом спина, т. е. переходом ДУС из одного состояния в другое. Время поперечной релаксации определяет время сбоя фазы системы, который может происходить за счет как обычной релаксации, так и бездиссипативного спин-спинового взаимодействия разных ДУС.

В приведенной схеме явление спектральной диффузии учитывается соответствующим выбором величины  $T_2$ , что, вообще говоря, является непоследовательным и может привести в некоторых случаях к заведомо неверным результатам [7].

Чтобы лучше представить физическую картину явления, рассмотрим, какие параметры характеризуют спектральную диффузию [6]. Взаимодействие переменного поля частоты  $\omega$  и резонансной ДУС с расстоянием между уровнями  $e = \hbar \omega$  характеризуется матричным элементом  $\hbar F = -\mu' F_0$ , где  $F_0$  — амплитуда поля. Заметим, что величина  $F$  есть не что иное, как частота Раби для ДУС, и характеризует частоту когерентных осцилляций заселенности ДУС под действием резонансного возмущения. Величина  $\gamma$  определяет ширину уровней резонансной ДУС и обусловлена испусканием и поглощением фононов с энергией  $e$ . Тепловые ДУС совершают переходы (скачки) с частотой  $\Gamma \approx D^2 T^3 / g \hbar^4 v^5$ , где  $D$  — деформационный параметр ДУС,  $g$  — плотность стекла,  $v$  — средняя скорость звука,  $T$  — абсолютная температура. Характерная величина изменения энергии резонансной ДУС из-за спектральной диффузии порядка  $E_d = \hbar \tau_d = D^2 N_0 T / g v^2$  ( $N_0$  — не зависящая от энергии плотность ДУС).

## 2. Описание модели и результаты расчета

Моделируемая система состоит из помещенной в центр некоторого объема  $V$  резонансной ДУС и  $N$  равномерно распределенных в объеме  $V$  тепловых ДУС, радиус-векторы  $\mathbf{r}_i$ , которых определяются тройкой чисел  $(x_i, y_i, z_i)$ , задаваемых генератором псевдослучайных чисел. При этом среднее расстояние между тепловыми ДУС  $r_0 = (3V/4\pi N)^{1/3}$ . Изменение

собственной частоты резонансной ДУС, обусловленное взаимодействием с тепловыми соседями, равно

$$\hbar\Delta\omega(t) = e(t) - e(0) = \sum_i E_i (r_0/r_i)^3 \xi_i(t).$$

Здесь  $\xi_i(t)$  — случайная функция времени, описываемая телеграфным процессом. Она попеременно принимает значения  $+1$  и  $-1$  в случайные моменты времени с частотой  $\Gamma$ . Различные функции  $\xi_i$  мы считаем некоррелированными.

В течение временного интервала  $\Delta t$  выбранная случайным образом тепловая ДУС совершает скачок. На следующем шаге переворачивается какая-нибудь другая (или та же самая) ДУС и т. д. На каждом шаге для заданной величины отстройки  $z = \omega - e/\hbar$  решается система уравнений

$$n = -\gamma(n - n_0) - F \operatorname{Re} f, \quad \dot{\operatorname{Re}} f = F(n - 1/2) + s \operatorname{Im} f - \gamma/2 \operatorname{Re} f,$$

$$\dot{\operatorname{Im}} f = -s \operatorname{Re} f - \gamma/2 \operatorname{Im} f \quad (3)$$

для диагональной  $n$  и недиагональной  $f$  компонент матрицы плотности резонансной ДУС

$$\begin{pmatrix} n & -ife^{i\omega t} \\ if^*e^{-i\omega t} & 1 - n \end{pmatrix}.$$

В (3)  $n_0 = [\exp(e/T - 1)]^{-1}$  — равновесная заселенность верхнего уровня резонансной ДУС. При решении системы (3) мы исходили из того, что в промежутках между переворотами тепловых ДУС  $s = \text{const}$  и система (3) имеет аналитическое решение. Входящие в уравнения (3) параметры  $F$ ,  $\gamma$ ,  $\Gamma$  являются величинами случайными, и по ним проводилось усреднение. Так, величина  $F$  пропорциональна амплитудному значению поля и величине дипольного момента ДУС

$$F = F_0 m \cos(\hat{F}m) \sqrt{p}. \quad (4)$$

Мы выбирали случайным образом угол  $\varphi = \arg(Fm)$ , находили  $p$  (см. ниже), согласно (4), значение  $F$ , а результаты окончательно усредняли для различных  $F$ .

Распределение по  $\Gamma$  (т. е. фактически по туннельной прозрачности тепловых ДУС) имеет вид

$$c(\Gamma) = 1/\Gamma \sqrt{1 - \Gamma/\Gamma_{\max}}, \quad (5)$$

где  $\Gamma_{\max}$  — максимальная частота скачков тепловой ДУС. Замена выражения под корнем единицей, как можно показать, не отразится существенным образом на результатах. То же относится и к распределению по  $\gamma$ . Чтобы разыграть случайные величины  $\Gamma$  и  $\gamma$ , воспользуемся приемом, часто применяемым в методе Монте-Карло [8]. А именно случайную величину  $\psi$  с известным распределением можно найти из уравнения

$\int c(x) dx = \eta$ , выбрав очередное значение равномерно распределенной в интервале (0—1) случайной величины  $\eta$ . Воспользовавшись распределением (5), получим

$$\Gamma = \Gamma_{\min} \exp[-\eta \ln(\Gamma_{\min}/\Gamma_{\max})],$$

где  $\Gamma_{\min}$ ,  $\Gamma_{\max}$  — минимальная и максимальная из частот скачков тепловой ДУС. Аналогично выглядит и выражение для получения величины  $\gamma$ . Параметр  $p$  при этом определяется по формуле  $p = \gamma/\gamma_{\max}$ . Наконец, результаты расчетов усреднялись по конфигурациям тепловых ДУС.

Нами проведены расчеты для следующих вариантов диэлектрического эха: двухимпульсного, трехимпульсного, ротационного и двухимпульсного ротационного. В случае двухимпульсного (спонтанного) эха (рис. 1) импульс включался в течение времени  $\tau_p$ , затем на протяжении времен-

ногого интервала  $\tau_{12} > \tau_p$  отключался и снова включался на время  $\tau_p$ . Сигнал эха наблюдался в момент времени  $2(\tau_p + \tau_{12})$ . Сигнал стимулиро-

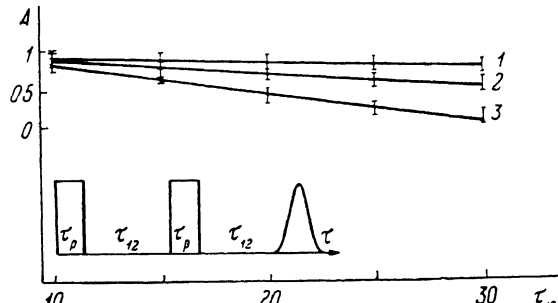


Рис. 1. Зависимость амплитуды  $A$  двухимпульсного эха от времени задержки  $\tau_{12}$  между импульсами при  $E_d = 0$  (1), 0.5 (2), 2.0 (3).

ванного (трехимпульсного) эха наблюдался в момент времени  $3\tau_p + 2\tau_{12} + \tau_{13}$ , если в описанной выше схеме эксперимента через время  $\tau_{13}$  после второго импульса подается третий импульс (рис. 4).

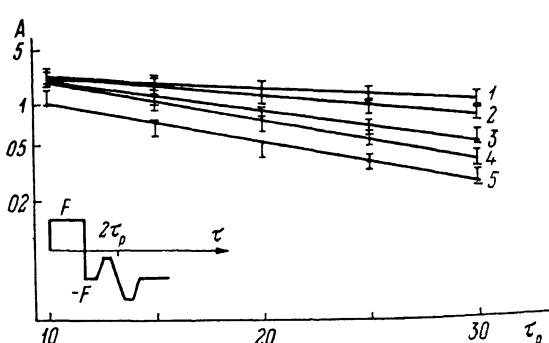


Рис. 2. Влияние спектральной диффузии на величину амплитуды ротационного эха.  $E_d = 0$  (1), 0.5 (2), 5 (3), 8 (4), 10 (5).

Двухимпульсное ротационное эхо отличается от спонтанного тем, что второй импульс включается с фазой  $-F$  и сигнал эха наблюдается на фоне включенного импульса. Он имеет характерный вид, проходя через

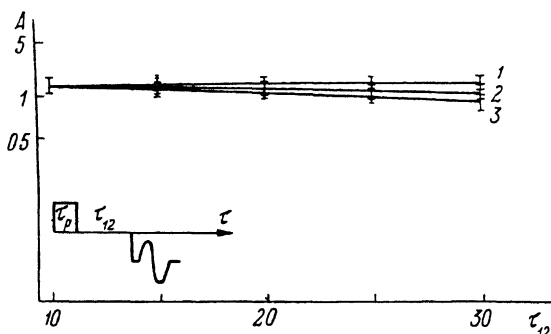


Рис. 3. Зависимость амплитуды двухимпульсного ротационного эха от времени задержки  $\tau_{12}$ .  $E_d = 0$  (1), 5 (2), 10 (3).

нуль при  $t = 2\tau_p + \tau_{12}$  (рис. 3). Ротационное эхо моделируется аналогично двухимпульсному ротационному с той лишь разницей, что фаза поля инвертируется без выключения импульса (рис. 2). Два последних типа эха недавно наблюдались в стеклах в эксперименте Баера и Шикфуса [5].

Расчеты проводились при следующих значениях параметров модели: число тепловых ДУС  $N=50$ ; объем, в котором они сгенерированы,  $V=8$ ; число конфигураций, по которым проводилось усреднение,  $K=20$ ; шаг интегрирования по отстройке  $\Delta z=0.5$ . Значения параметров  $\Gamma_{\min}$ ,  $\Gamma_{\max}$ ,  $\gamma_{\min}$ ,  $\gamma_{\max}$  равнялись в безразмерных единицах соответственно 0.1, 10, 0.01, 1. Величина  $E_d$  выбиралась в пределах 0.1–10,  $F_0=20$ . Временные интервалы измерялись в единицах  $(\Gamma_{\max} N)^{-1}$ .

Результаты расчетов приведены на рис. 1–4. На вставках изображены схемы формирования эха и качественный вид сигнала. Видно, что наиболее сильно спектральная диффузия влияет на амплитуду двухимпульсного эха. Менее чувствительно к спектральной диффузии ротационное эхо. Наименее подвержены влиянию спектральной диффузии двухимпульсное ротационное и трехимпульсное эха.

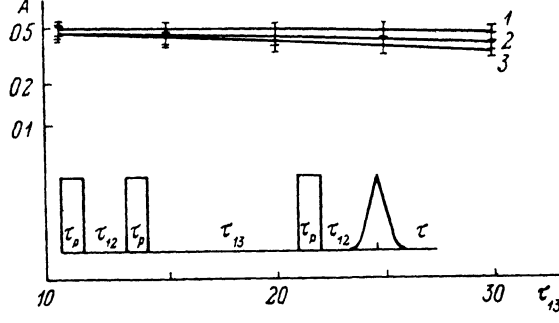


Рис. 4. Спад амплитуды стимулированного эха от расстояния между первым и третьим импульсами  $\tau_{13}$ .  $E_d=0$  (1), 0.5 (2), 1.0 (3).

Из результатов расчета следует, что спектральная диффузия играет важную роль в затухании сигналов ротационного и двухимпульсного эха (рис. 1, 2) и ее влияние гораздо менее выражено в случаях двухимпульсного ротационного и трехимпульсного эха (рис. 3, 4). Последнее отмечалось также в работе [5].

Во всех исследованных случаях в пределах погрешности расчета затухание носит экспоненциальный характер. Следует, однако, отметить, что при расчете не учитывалось влияние туннельной прозрачности резонансных ДУС на величину их взаимодействия с тепловыми ДУС. Учет этого взаимодействия может (как это показано в [9]) привести к неэкспоненциальному спаду амплитуды эха.

#### Список литературы

- [1] Amorphous Solids. Low Temperature Properties// Ed. W. A. Phillips. Berlin—Heidelberg—New York: Springer—Verlag, 1981. 165 p.
- [2] Anderson P. W., Halperin B. I., Varma C. M. // Phil. Mag. 1972. V. 25. N 1. P. 1—9.
- [3] Phillips W. A. // J. Low Temp. Phys. 1972. V. 7. N 2. P. 351—357.
- [4] Карпов В. Г., Клингер М. И., Йгнатьев Ф. Н. // ЖЭТФ. 1983. Т. 84. № 2. С. 761—775.
- [5] Baier G., Schickfus M. V. // Phys. Rev. B. 1988. V. 38. N 14. P. 9952—9957.
- [6] Galperin Yu. M., Gurevich V. L., Parshin D. A. // Phys. Rev. B. 1988. V. 37. N 17. P. 10339—10349.
- [7] Laikhtman B. D. // Phys. Rev. B. 1985. V. 31. N 6. P. 3555—3559.
- [8] Бусленко Н. П., Голенко Д. И., Соболь И. М. и др. Метод статистических испытаний (метод Монте-Карло). М.: ГИФМЛ, 1962. 332 с.
- [9] Гуревич В. Л., Мурадов М. И., Паршин Д. А. // ЖЭТФ. 1990. Т. 97. № 5. С. 2114—2126.